

2,2-Dimethylandrostenedioneのアロマターゼ反応における メタボリックスイッティングに関する研究： 予測代謝物の合成とアロマターゼ阻害活性

山田 恵子, 伴田和香子, 長岡 正男, 沼澤 光輝*

Study of Aromatase-Catalyzed Metabolic Switching of 2,2-Dimethylandrostenedione: Synthesis of Possible Metabolites and Their Inhibitory Activities of Aromatase

Keiko YAMADA, Wakako HANNA, Masao NAGAOKA, and Mituteru NUMAZAWA*

(Received November 22, 2004)

Aromatase is a cytochrome P-450 enzyme responsible for the conversion of androgens to estrogens. 2,2-Dimethylandrostenedione (**5**) is one of the powerful inhibitors of the enzyme. To explore a metabolic switching in the aromatase-catalyzed biotransformation of the 2,2-dimethyl steroid **5**, possible switching metabolites, the 6β -hydroxy and 6-ene derivatives **9** and **14**, as well as 2α -methyl- 6β -ol **12** were synthesized and their inhibitory activities of aromatase in human placental microsomes were determined. All of the steroids synthesized were good competitive inhibitors of the enzyme with apparent K_i values ranging from 23 to 110 nM.

Key words — Aromatase; Metabolic switching; 2,2-Dimethylandrostenedione; 6β -Hydroxy steroid; Synthesis; Aromatase inhibition

アロマターゼはアンドロステンジオン(AD, **1**)やテストステロンなどのアンドロゲンをエストロンやエストラジオールへの変換を触媒するシトクロムP-450酵素である。¹⁻³⁾この芳香核化反応は、これらアンドロゲンの3回の連続した酸素添加反応による19-メチル基の切断と1,2-水素の脱離を伴い進行する。^{4,5)}このうち最初の2回は19位で起き19-ヒドロキシ体(**2**)を経て19-オキソ体(**3**)を生成する。3回目の反応については、いまだ不明なところが在り、19位をペルオキシドの形で攻撃する説⁶⁾が有力であるが2位水酸化反応説⁷⁾もある(Fig. 1)。アロマターゼの阻害剤は、最近エストロゲン依存性乳がんの治療薬として広く用いられるようになってきているが、これまでにステロイド性のアロマターゼ阻害剤が数多くデザインされている。^{8,9)}

Furth等¹⁰⁾は、2,2-dimethylAD (**5**)が優れたアロマターゼ拮抗阻害剤 ($K_i=2.3$ nM, ADに対する

$K_m=20$ nM)であり、これまでに開発されたステロイド性阻害剤の中で最も強力なもの一つであることを見出した(Fig. 2)。一方、アロマターゼ自殺基質である4-hydroxyADや6-oxoADの2,2-dimethyl誘導体(**6**と**7**)は、アロマターゼの拮抗阻害活性を保持するものの自殺基質としての特性を失うことから、2,2-dimethyl基が、これらの19位酸素化反応を経る自殺基質作用発現を妨害することが示唆されてきた。^{10,11)}また、先に我々は、化合物**5**がアロマターゼにより19位水酸化体に代謝されないことを、GC-MS分析により明らかにし、2,2-dimethyl基が、天然基質ADのアロマターゼ反応を立体障害的に妨害することを報告した。¹²⁾一方、ADの19位にトリチウムを標識すると、そのアイソトープ効果により、C(19)-H結合の酵素切断反応が抑制され、その代償として、19-methyl基と1,3-diaxialの関係にあり19位と空間距離の近い 2β

位が、アロマターゼにより水酸化されるメタボリックスイッティングの発現することが知られている。¹³⁾

前述のADのアロマターゼ反応機構における2位水酸化説をも踏まえ、これら以前に報告された結果から、2,2-dimethyl基がアロマターゼ反応のメタボリックスイッティングを引き起こし、19-methylともう一つの1,3-diaxialの関係にある6 β 位水酸化反応を惹起する可能性が推測された。そこで、このことを明らかにするための研究の一環として、予測される代謝物の合成とそれらのアロマターゼ阻害活性を検討したので報告する。

結果および考察

先に、予測される化合物を合成した。すなわち、2,2-dimethylAD(5)を硫酸存在下orthomethylformate

との反応に付した。ついで、エノールエーテル生成物を取り出すことなく、EtOH中攪拌しながら室温で太陽光に2日間さらした。¹⁴⁾粗生成物を再結晶し6 β -hydroxy体9(55%)を得た(Fig. 3)。一方その母液から、カラムクロマトグラフィー精製にて6-oxo体7(12%)を単離した。化合物9の6位立体配置は、従来の報告¹⁴⁾と¹H-NMRスペクトロメトリーにおいて、19-methyl基の水素(δ 1.49 ppm)又は6 α -水素(δ 4.44 ppm)を照射しても、いずれもこれら水素シグナルのNOE増強が観察されなかったことより確認した。一方、化合物5をSeO₂を用いる酸化反応¹⁴⁾に付したところ一工程で6 β -hydroxy体9を得ることが出来たが、収率は17%と低いものであった。アロマターゼの効率的な基質として知られ、芳香核化、すなわち、19位酸素化反応を受ける2 α -methylAD(10)¹²⁾を、前述同様にformate試薬による処理次いで光照射し、6 β -hydroxy体12を得ることに成功した。

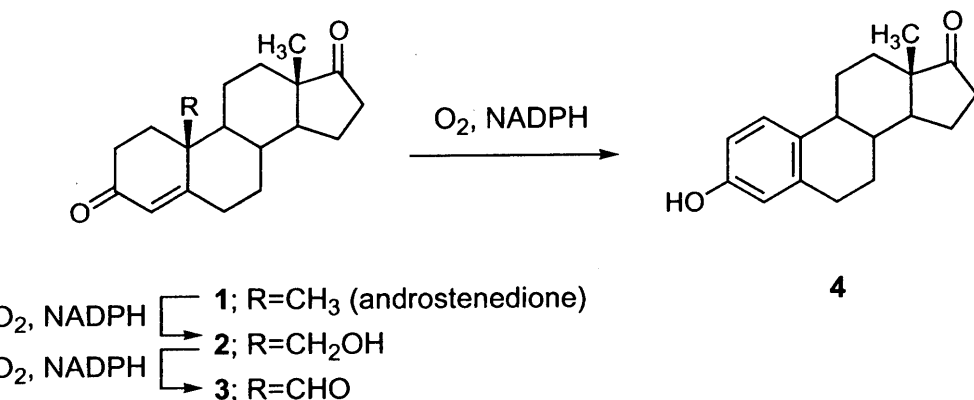


Fig. 1. Aromatization Sequence of Androstenedione (AD) with Human Placental Aromatase.

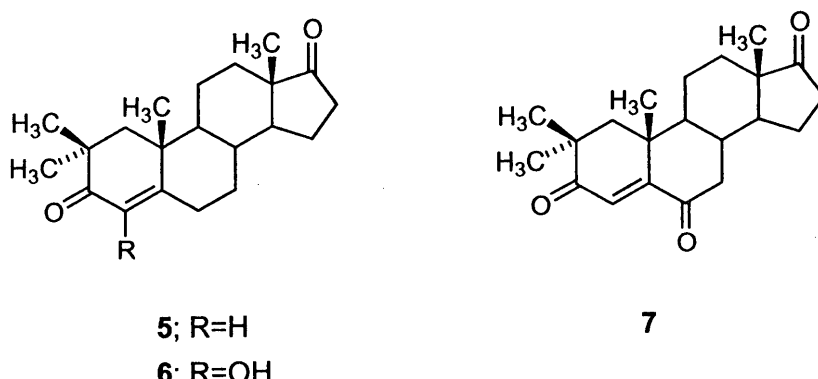


Fig. 2. Structures of Aromatase Inhibitors with a 2,2-Dimethyl Group.

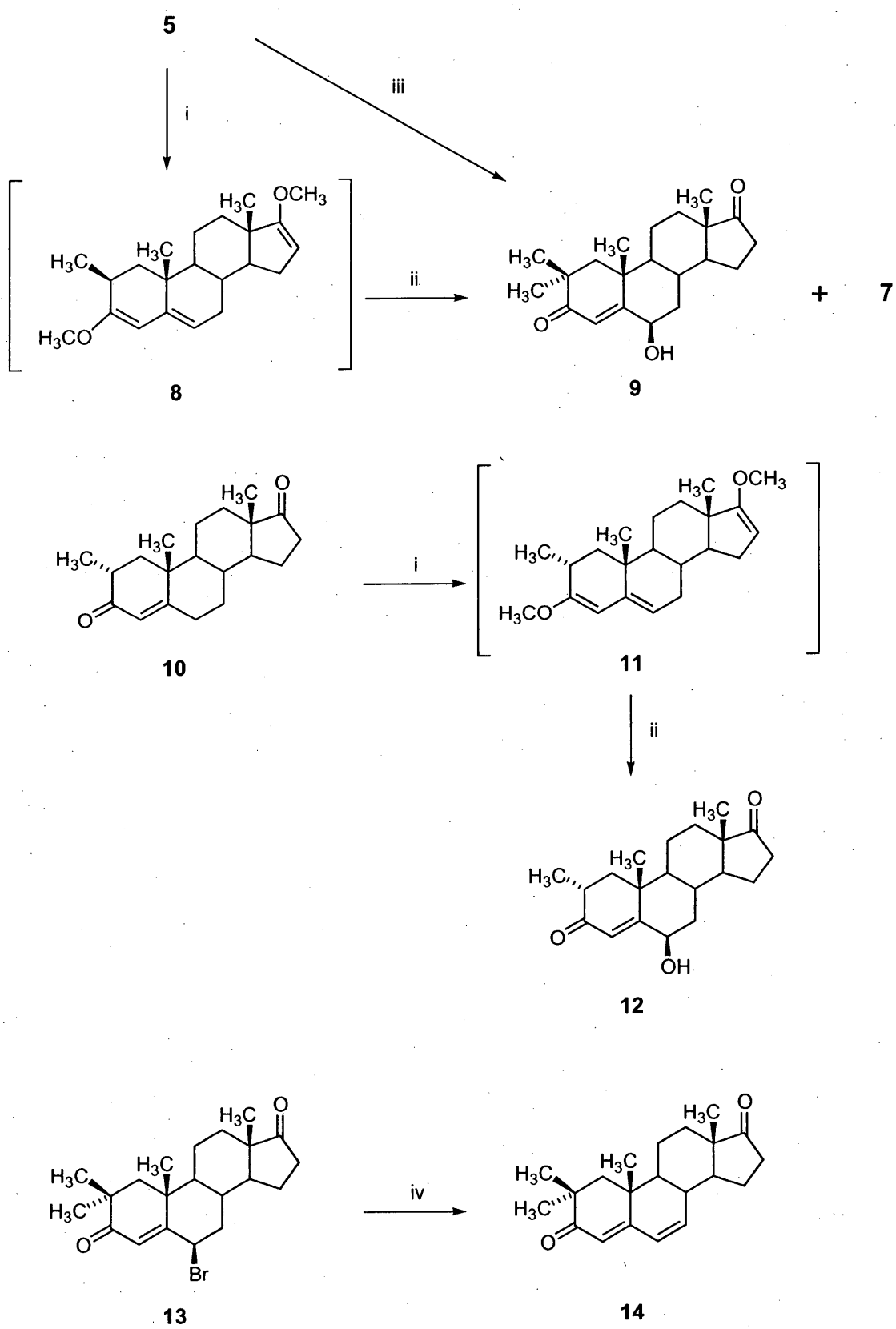


Fig. 3. Synthesis of Possible Metabolites of 2,2-DimethylAD (5). Reagents: i) orthomethylformate, H_2SO_4 , MeOH, CH_2Cl_2 ; ii) sunlight, EtOH; iii) SeO_2 , dioxane; iv) $CaCO_3$, DMF.

60%の収率で得た。このとき、6-oxo誘導体の生成は確認できなかった。

先に合成した2,2-dimethyl-6-bromoAD (**13**)¹⁵⁾をDMF中CaCO₃処理し4,6-diene化合物**14**(54%)を得た。この化合物は、6β-ol **9**の脱水生成物であり、アロマターゼ反応の2次生成物として考えられるものである。

ここに合成した化合物の種々スペクトルデータは、いずれも構造を支持した。

次いで、これら化合物のアロマターゼに対する親和性を阻害活性から求めた。アロマターゼ活性は、酵素源としてヒト胎盤ミクロゾームを用い、[1β-³H]ADを基質とするラジオメトリック法、すなわち、酵素反応によりインキュベーション液に放出されるトリチウム水の量から酵素活性をもとめた。¹⁶⁾ Table 1に比較化合物と共にその結果を示した。化合物**9**, **12**と**14**は、いずれもIC₅₀値が約1200nM以下とアロマターゼに高い親和性を示した。これら化合物は、Lineweaver-Burkプロットから拮抗阻害剤であり、Dixonプロットで求めた阻害定数(Ki値)が23-110nMと小さく、ステロイド性化合物としては比較的強力な阻害剤であった。6β-Hydroxy体**9**と**12**の阻害活性は強いにもかかわらず、それぞれの母化合物**5**と**10**のそれに比較し低く、ADシリーズと同様に、^{17,18)} 6β-水酸基の導入が親和性の低下を引き起こすことが判明した。一方、4,6-diene体**14**は、最も強い阻害活性を示し、そのKi値

(23nM)は基質ADのKm値よりも小さいものであった。化合物**14**のLineweaver-BurkプロットをFig. 4に示す。

また、4,6-diene**14**は、NADPH非存在下時間依存的にアロマターゼを不活性化せず、逆に残存活性が阻害剤存在下、コントロール値よりも高い物となった(Fig. 5)。この結果は、本阻害剤が、プレインキュベーション中の酵素の失活を保護したことを意味し、自殺基質としての特性を持たないことを明らかにした。母化合物4,6-dieneステロイドの場合^{19,20)}も同様な結果が得られており、2,2-dimethyl基を導入することにより、不活性化反応に関する母化合物の特性を変えることはなかった。

以上、今回合成された2,2-dimethylAD (**5**)の誘導体は、アロマターゼに対する親和性も高く、現在メタボリックスイッティング代謝物としての同定を検討中である。

実験の部

2,2-DimethylAD (**5**),¹⁰⁾ 2α-methylAD (**10**),¹²⁾ 6β-bromo-2,2-dimethylAD (**13**)¹⁵⁾は、文献に従い合成した。[1β-³H]AD(27.5 Ci/mmol; ³H-distribution, 74-79% at 1β)は、New England Nuclear Corp. (Boston, MA, USA) から購入した。NADPHは興人株式会社(東京)のものを用いた。

融点は柳本融点測定装置(京都)を用い測定

Table 1. Aromatase inhibition by 2,2-dimethyl- and 2α-methylandrostenedione analogs

Steroid	IC ₅₀ , nM ^{a)}	Ki, nM ^{b)}	Inhibition ^{c)}
2,2-Dimethyl-6β-ol 9	540	60	Competitive
2,2-Dimethyl-4,6-diene 14	225	23	Competitive
2α-Methyl-6β-ol 12	1200	110	Competitive
For comparison			
2,2-Dimethyl 5	89	8.8	Competitive
2α-Methyl 10	690	55	Competitive

a) A concentration of 300 nM of [1β-³H] androstenedione and 20μg of protein from human placental microsomes were used.

b) Inhibition constant was obtained by Dixon plot. In these experiments, the apparent Km for the substrate androstenedione was found to be about 33 nM.

c) Inhibition type was determined by Lineweaver-Burk plot.

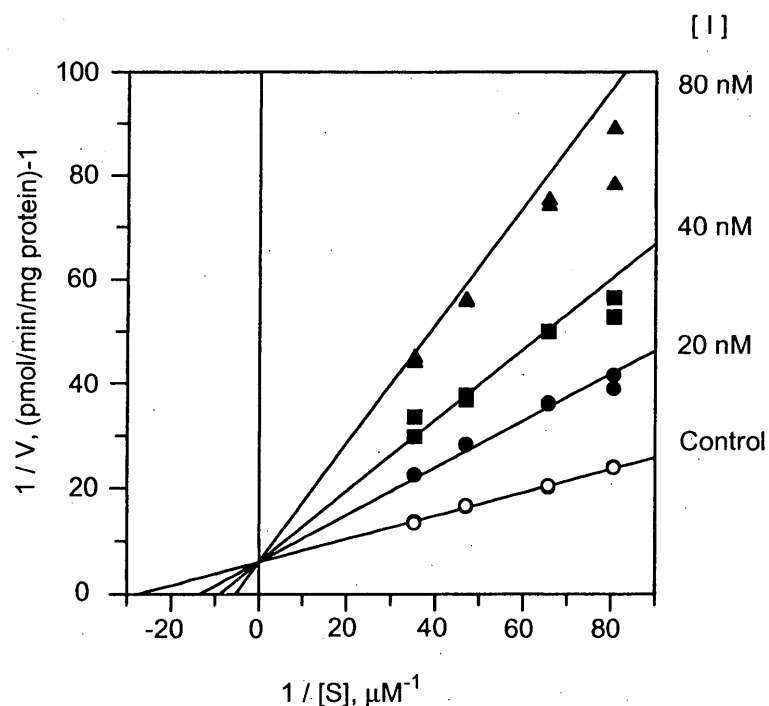


Fig. 4. Lineweaver-Burk plot of inhibition of human placental aromatase by 2,2-dimethyl-4,6-diene steroid **14** with AD as a substrate. Each point represents the mean of two determinations, which varied by less than 5% of the the mean. The inhibition experiments performed with all of the other steroids gave essentially similar plots (data not shown).

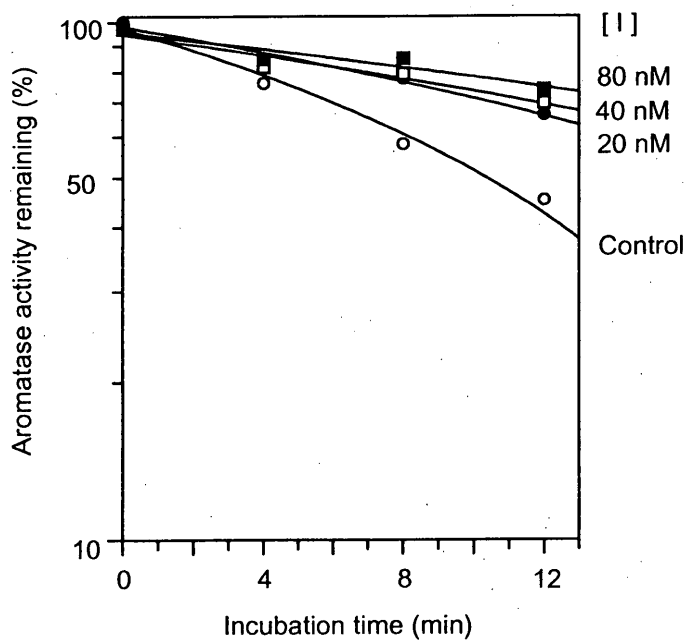


Fig. 5. Time-dependent inactivation by 2,2-dimethyl-4,6,-diene steroid **14** in the presence of NADPH in air. The aromatase activity remaining under 0-min preincubation and the no inhibitor samples equals 100% activity (120 pmol/min/mg protein). Each point represents the mean of two determinarions that varied less than 5% of the mean.

し, 未補正. IRスペクトルはKBrペレットとしてPerkin-Elmer FT-IR 1725Xスペクトロメーター(Norwalk, CT, USA)で, UVスペクトルは95%EtOH溶液で日立150-200UVスペクトロメーター(東京)を用い, それぞれ測定した.¹H-NMRスペクトルは, tetramethylsilaneを内標としCDCl₃溶液中 日本電子JEOL EX270(270 MHz)スペクトロメーター(東京)で, MSスペクトルは, 日本電子JEOL JMS-DX303スペクトロメーターでそれぞれ求めた. 薄層クロマトグラフィー(TLC)は, 0.25mm層長silica gel 60F-254を, また, カラムクロマトグラフィーは, silica gel 60, 70-230メッシュ(E. Merck, Darmstadt, German; 展開溶媒, いずれも, hexane-EtOAc)を, それぞれ用いて行った.

2,2-Dimethyl-6 β -hydroxyandrost-4-en-17-one (9) の合成

(A) 2,2-DimethylAD (5) (215mg, 0.68 mmol)をCH₂Cl₂(3mL)に溶かし, この溶液にdioxane(1.4mL), dryMeOH(0.01mL), orthomethylformate(0.36mL, 3.29mmol)とH₂SO₄(2 drops)を加え, この混合液を氷冷下7.5h攪拌. その後, pyridine(5 drops)を加え, 反応液を減圧下濃縮. EtOAc(100mL)で希釈, 水洗, Na₂SO₄乾燥後, 溶媒留去し粗生成物(210mg)を得. このものは, TLC分析で3スポットを示す化合物の混合物であったが, 不安定で精製過程で分解することから, 生成物enolether 8を単離せずに次の反応に付した.

粗生成物8(200mg)をEtOH(30mL)に溶かし, 攪拌しながらこの溶液を室温で太陽光に2日間さらし, 生成する沈殿物をろ取後, 溶媒を減圧留去. 残渣をacetoneより再結晶し化合物9(120mg, 55%)を無色針状晶として得. 化合物9: mp 216-220 °C; FT-IR ν 3468(OH), 1663 and 1738(C=O)cm⁻¹; UV λ_{max} 237nm (ϵ = 13,200); ¹H-NMR δ 0.95(3H, s, 18-Me), 1.12 and 1.23(3H each, s, 2-Me₂), 1.49(3H, s, 19-Me), 4.44(1H, t, J = 2.7Hz, 6-H), 5.80(1H, s, 4-H); MS m/z (relat. int.) 330(M⁺, 48), 274(100), 256(18), 241(10), 178(22). Anal. Calcd for C₂₁H₃₀O₃: C, 76.32; H, 9.15. Found: C, 75.98; H, 9.35.

この母液をカラムクロマトグラフィーにて精

製し, 2,2-dimethylandrost-4-ene-3,6,17-trione(7)(24mg, 12%)を副生成物として得. 化合物7: mp 192-195 °C(lit.¹¹) 191-193 °C; ¹H-NMR δ 0.94(3H, s, 18-Me), 1.16, 1.24, and 1.28(3H each, s, 2-Me₂ and 18-Me), 6.08(1H, s, 4-H).

(B) 化合物5(52mg, 0.16mmol)のdioxane(5mL)溶液にSeO₂(74mg, 0.67mmol)を加え100 °Cで32h加熱. 固形物をろ取後, EtOAc(100mL)で希釈し水洗後Na₂SO₄で乾燥. 溶媒を減圧下留去し油状物(50mg)を得. このものをカラムクロマトグラフィーにて精製し, 化合物9(9mg, 17%)を得; mp 217-220 °C. 本品は, 先に合成したものと種々スペクトルが一致した. 2 α -Methyl-6 β -hydroxyandrost-4-ene-3, 17-dione(12)の合成

2 α -MethylAD(10)(150mg, 0.50mmol)を前述の化合物5の反応の場合と同様にorthomethylformateで氷冷下処理した[CH₂Cl₂, 2.1mL; dioxane, 0.98mL; MeOH, 10 μ L; orthomethylformate, 0.31mL, 2.38mmol; H₂SO₄, 2 drops; 4h]. 反応終了後, pyridine(5 drops)を加え前と同じように後処理をして粗生成物11(180mg)を得. この物を精製することなく次の反応に用いた.

粗生成物11(120mg)をEtOH(10mL)に溶かし, 前述同様室温で太陽光に2日間さらした. 固形物をろ取後, 溶媒を減圧下留去し, 残渣をカラムクロマトグラフィーにて精製, ついでacetone-hexaneで再結晶し化合物12(50mg, 43%)を得. 化合物12: mp 153-156 °C; FT-IR ν 3449(OH), 1660 and 1738(C=O)cm⁻¹; UV λ_{max} 236nm (ϵ = 11,700); ¹H-NMR δ 0.95(3H, s, 18-Me), 1.12(3H, d, J = 6.6 Hz, 2 α -Me), 4.41(1H, s, 6 α -H), 5.82(1H, s, 4-H). Anal. Calcd for C₂₀H₂₈O₃: C, 77.90; H, 6.54. Found: C, 77.56; H, 6.77.

2,2-Dimethylandrosta-4,6-diene-3,17-dione (14) の合成

2,2-Dimethyl-6 β -bromoAD(13)(58mg, 0.15mmol)のDMF(2.5mL)溶液にCaCO₃(39mg, 0.39mmol)を加え1.5h加熱還流した. 反応液をEtOAc(50mL)で希釈後水洗, 乾燥(Na₂SO₄)し, 溶媒留去. 得られた油状物をカラムクロマトグラフィーついでacetoneからの再結晶にて

精製し、化合物**14** (20mg, 44%)を得。化合物**14**: mp 168-170 °C; FT-IR ν 1656 and 1736 (C=O) cm⁻¹; UV λ_{max} 282nm (ε=24,800); ¹H-NMR δ 0.97 (3H, s, 18-Me), 1.16 and 1.23 (3H each, s, 2-Me₂), 1.27 (3H, s, 19-Me), 5.68 (1H, s, 4-H), 6.11-6.23 (2H, m, 6- and 7-H); MS m/z (relat. int.) 312(M⁺, 37), 284(27), 269(28), 256(100), 171(10). Anal. Calcd for C₂₁H₂₈O₂: C, 80.73; H, 9.03. Found: C, 80.52; H, 9.14.

アロマターゼ酵素源の調製

ヒト胎盤ミクロゾームは、Ryanらの方法²¹⁾に従い、105,000×g, 60-min遠心のペレットとして調製し、0.05mM dithiothreitolで洗浄後凍結乾燥し-20 °Cで保存した。この条件下約6ヶ月間アロマターゼ活性は保持された。

アロマターゼ活性測法

アロマターゼ活性は、SiiteriとThompsonの方法、¹⁶⁾すなわち、[1β³H]ADを基質としてインキュベートするとき、インキュベーション混合液中に放出されるトリチウム水を指標として測定した。可逆的ならびに時間依存的・不可逆的不活性化反応は、我々が先に報告した条件を用いた。²²⁾簡潔に述べると、20 μg蛋白の凍結乾燥ミクロゾームとNADPHとともに空気のもとで、67mMリン酸緩衝液(pH,7.5, 0.5mL)の中で標識基質を阻害剤存在下インキュベート。時間依存的不活性化実験では、200 μgミクロゾーム蛋白を用い、4, 8, 12minのプレインキュベーション後、その1/10を残存アロマターゼ活性の測定に供した。

謝辞 本研究は、文部科学省科学研究費にて一部援助を受けた。ヒト胎盤の供与を頂いた今泉産婦人科医院（仙台市）・院長今泉英明氏に深謝する。

REFERENCES

- 1) Thompson E. F., Jr., Siiteri P. K., *J. Biol. Chem.*, **249**, 5373-5378 (1974).
- 2) Kellis J. T., Vickery L. E., *J. Biol. Chem.*, **262**, 4413-4420 (1987).
- 3) Yoshida N., Osawa Y., *Biochemistry*, **30**, 3003-3010 (1991).
- 4) Oh S. S., Robinson C. H., *J. Steroid Biochem. Mol. Biol.*, **44**, 389-397 (1993).
- 5) Atttar M., Lee-Robichaud P., Akhtar M. E., Wright J. N., *J. Steroid Biochem. Mol. Biol.*, **61**, 127-132 (1997).
- 6) Cole P. A., Robinson C. H., *J. Am. Chem. Soc.*, **110**, 1284-1285 (1988).
- 7) Hahn E. F., Fishman J., *J. Biol. Chem.*, **259**, 1689-1699 (1984).
- 8) Brodie A. M. H., Njar V. C. O., *J. Steroid Biochem. Mol. Biol.*, **66**, 1-10 (1998).
- 9) Johnston J. O., *Crit. Rev. Biochem. Mol. Biol.*, **33**, 375-405 (1998).
- 10) Furth P. S., Rosenberger J., Marcotte P. A., Robinson C. H., *J. Enzyme Inhib.*, **4**, 131-135 (1990).
- 11) Numazawa M., Tachibana M., *Steroids*, **59**, 579-585 (1994).
- 12) Numazawa M., Watari Y., Yamada K., Uemura N., Handa W., *Steroids*, **68**, 503-513 (2003).
- 13) Osawa Y., Higashiyama T., Fronckowiak M., Yosida N., Yarborough C., *J. Steroid Biochem. Mol. Biol.*, **27**, 781-789 (1987).
- 14) Thalen A., Wickstrom L.-I., *Steroids*, **65**, 16-23 (2000).
- 15) Numazawa M., Handa Y., Yamada K., *Biol. Pharm. Bull.*, **27**, 1878-1882 (2004).
- 16) Siiteri P. K., Thompson E. A., Jr., *J. Steroid Biochem.*, **6**, 317-322 (1975).
- 17) Numazawa M., Tsuji M., Osawa Y., *Steroids*, **48**, 347-359 (1986).
- 18) Numazawa M., Kamiyama T., Tachibana M., Oshibe M., *J. Med. Chem.*, **39**, 2245-2252 (1996).
- 19) Li P.-K., Brueggemeier R. W., *J. Med. Chem.*, **33**, 101-105 (1990).
- 20) Numazawa M., Oshibe M., Yamaguchi S., *Steroids*, **62**, 595-602 (1997).
- 21) Ryan K. J., *J. Biol. Chem.*, **234**, 268-272 (1975).
- 22) Numazawa M., Mutsumi A., Hoshi K., Oshibe M., Ishikawa E., Kigawa K., *J. Med. Chem.*, **34**, 2496-2504.